

FYZIKÁLNÍ PRAKTIKUM FJFI ČVUT V PRAZE

Datum měření: 15.4.2011	Jméno: Jakub Kákona
Pracovní skupina: 4	Ročník a kroužek: Pa 9:30
Spolupracovníci: Jana Navrátilová	Hodnocení:

Úloha 11: Termická emise elektronů

Abstrakt

Cílem našeho měření bylo změření VA charakteristiky a zjištění význačných bodů u laboratorní diody s přímo žhavenou katodou.

1 Úvod

1.1 Zadání

1. Změřte závislost emisního proudu katody na kladném anodovém napětí v rozmezí (100 - 600) V při konstantní teplotě katody. Měření provedete pro 5 - 8 teplot v rozmezí 1800 až 2500 K. Teplotu měřte pyrometrem.
2. Výsledky měření podle bodu 1 vyneste do grafu, určete hodnoty nasyceného emisního proudu a nakreslete Richardsonovu přímku.
3. Vypočtěte výstupní práci φ_v a určete hodnotu Richardsonovy konstanty A .
4. Změřte závislost náběhového proudu $I_a = f(U_{KA})$ pro deset hodnot záporného anodového napětí U_{KA} při konstantním žhavicím proudu I_{zh} . Měřte v rozsahu -10 až 0V.
5. Měření podle bodu 4) provedete pro šest různých hodnot žhavicího proudu I_{zh} . Pro každou hodnotu žhavicího proudu změřte teplotu středu katody radiačním pyrometrem.
6. Z průběhů náběhového proudu určete příslušné teploty katody a porovnejte je s teplotami změřenými pyrometrem.
7. Z napětí a proudů žhavením katody odhadněte její teplotu.

2 Experimentální uspořádání a metody

2.1 Pomůcky

Vakuová dioda s wolframovou přímo žhavenou katodou trvale čerpaná vakuovým systémem, regulovatelný zdroj 20 V, žhavící transformátor, regulovatelný zdroj 600 V, voltmetr, ampérmetr, miliampérmetr, nanoampérmetr, regulační transformátor 0 - 220 V.

2.2 Teoretický úvod

Kov si zjednodušeně představujeme, jako krystalovou mřížku z kladných iontů, ve které se volně pohybují elektrony. Aby elektron opustil tuto krystalovou mřížku, potřebuje dosáhnout jisté míry kinetické energie, která je funkcí teploty, tuto energii budeme nazývat výstupní prací a je charakteristická pro každý kov. Elektrony vyletují z materiálu obecně s různými rychlostmi, které se ovšem řídí Maxwellovým-Boltzmannovým rozdělením. Při určité teplotě se kolem zahřívané elektrody (katody) začne vytvářet tzv. elektronový oblak, který nepříznivě působí na emitování dalších elektronů. Abychom tomuto zabránili a mohli měřit opravdovou emisi při dané teplotě, použijeme další elektrodu (anodu) na kterou budeme přivádět kladné napětí nebo ve speciálním případě mírně záporné. Pro proud potom můžeme napsat vztah

$$I_a = I_0 e^{\left(\frac{e\varphi_a}{kT}\right)}, \quad (1)$$

kde I_0 je ideální nasycený proud, e náboj elektronu ($e = 1,602 \cdot 10^{-19} \text{ C}$), T absolutní teplotu, φ_a potenciál ve vzdálenosti x od katody ($\varphi_a \leq 0$) a k představuje Boltzmannovu konstantu ($k = 1,38 \cdot 10^{-23} \text{ W.s.K}^{-1}$).

Pro hustotu termoemisního nasyceného proudu platí

$$i_0 = AT^2 \exp\left(-\frac{e\varphi_v}{kT}\right), \quad (2)$$

kde A je tzv. Richardsonova konstanta (teoretická hodnota $A = 120 \cdot 10^4 \text{ A.m}^{-2} \text{ K}^{-2}$, pro wolfram je praktická hodnota asi $80 \cdot 10^4 \text{ A.m}^{-2} \text{ K}^{-2}$). Po zlogaritmování dostáváme

$$\ln i_0 - 2 \ln T = \ln A - \frac{e\varphi_v}{kT}, \quad (3)$$

což můžeme přepsat do tvaru přímky $y = a - bx$, kde $y = \ln i_0 - 2 \ln T$; $a = \ln A$; $b = e\varphi_v/k$; $x = 1/T$. Z grafu pak můžeme fitováním získat patřičné konstanty. Dále se ještě využije vztah

$$a = \ln I_0 - 2 \ln T = \ln S A, \quad (4)$$

kde $I_0 = i_0 S$. Pro výpočet teploty při mírně záporném anodovém napětí použijeme vztah

$$T = 5040 \frac{U_1 - U_2}{\log(I_1/I_2)}. \quad (5)$$

3 Výsledky a postup měření

3.1 Měření emisního proudu pro kladné anodové napětí

Nejdříve jsme prozkoumali konstrukci vakuové aparatury a začali čerpat rotační vývěvou, po dosažení mezního tlaku této vývěvy, jsme Byla zapnuta ještě turbomolekulární vývěva. Mezitím jsme zapojili měřící sestavu dle přiloženého schématu. Po dosažení mezního tlaku skoro 10^{-4} Pa jsme vyzkoušeli funkčnost celé aparatury, nejdříve žhavení, tedy zvýšením žhavícího proudu a následně i tok náboje k anodám. Nakonec jsme otestovali radiační pyrometr.

Zvyšovali jsme postupně tuto teplotu katody a vždy změřili emisní charakteristiku až do oblasti nasycení, všechny hodnoty jsou uvedeny v tabulce 1. Pro každou teplotu jsme sestavili graf. Po extrapolaci hodnot I_0 jsme následně jsme daty proložili přímku a vyfitovali hodnoty $A = (101 \pm 28) \cdot 10^4 \text{ Am}^{-2} \text{ K}^{-2}$ a $\varphi_v = (1.8 \pm 0.9) \text{ V}$.

Tabulka 1: Naměřené hodnoty emisního proudu v závislosti na napětí.

2061 [K]	
U[V]	I [mA]
100	1,04
150	1,12
200	1,16
250	1,18
300	1,22
350	1,24
400	1,26
450	1,30
500	1,32
550	1,35
600	1,36

Tabulka 2: Naměřené hodnoty emisního proudu v závislosti na napětí.

2233 [K]	
U[V]	I [mA]
100	2,80
150	2,78
200	2,81
250	2,90
300	2,98
350	3,05
400	3,14
450	3,18
500	3,15
550	3,20
600	3,23

Tabulka 3: Naměřené hodnoty emisního proudu v závislosti na napětí.

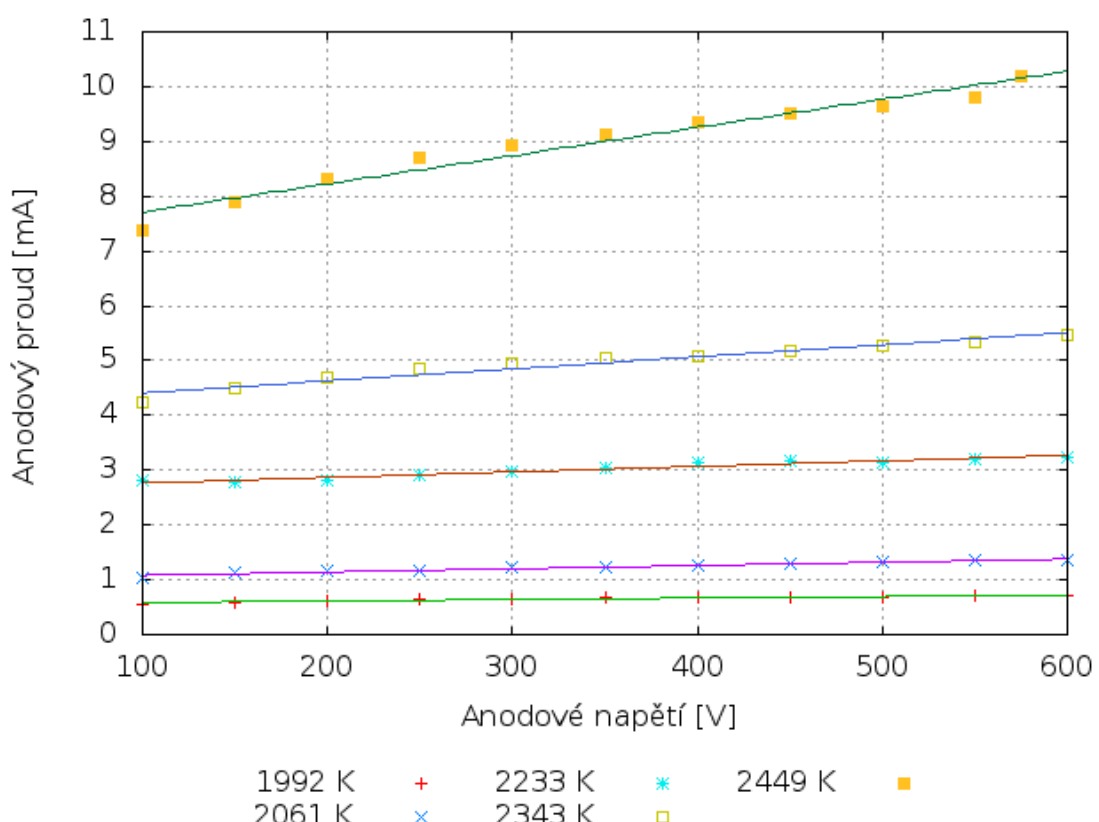
2343 [K]	
U[V]	I [mA]
100	4,23
150	4,5
200	4,68
250	4,84
300	4,95
350	5,04
400	5,07
450	5,19
500	5,26
550	5,33
600	5,47

Tabulka 4: Naměřené hodnoty emisního proudu v závislosti na napětí.

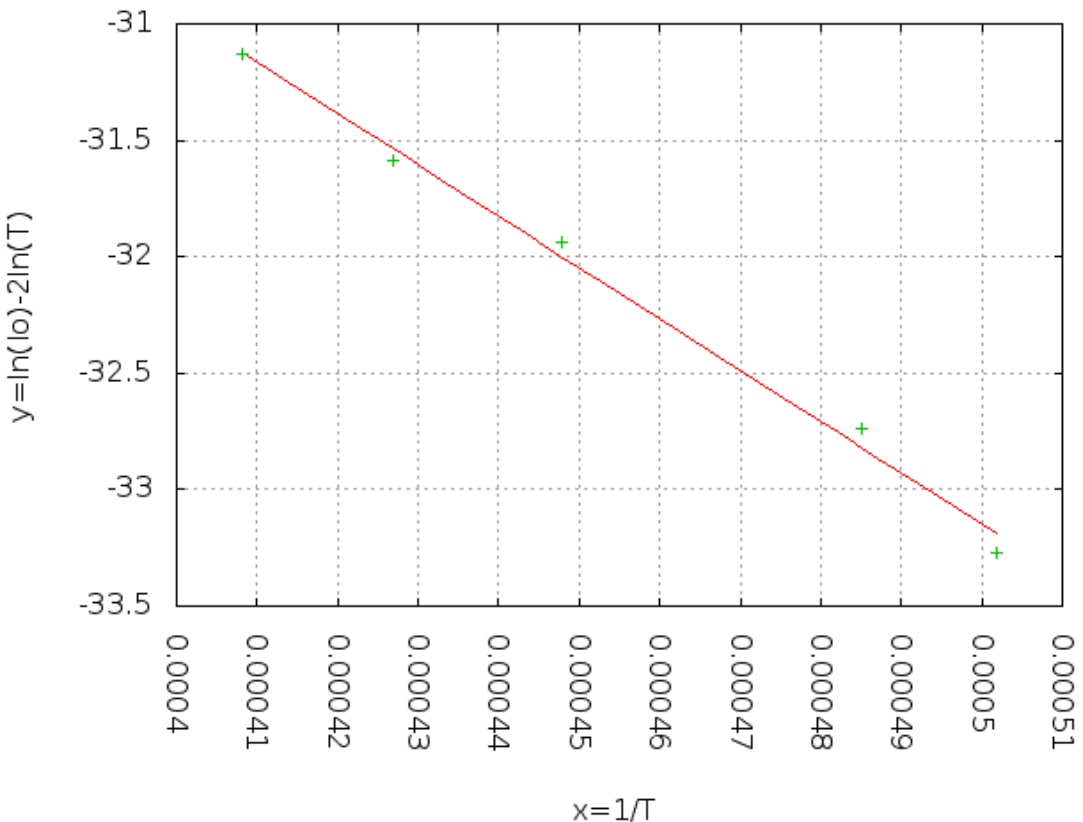
2449 [K]	
U[V]	I [mA]
100	7,39
150	7,91
200	8,3
250	8,7
300	8,93
350	9,12
400	9,35
450	9,52
500	9,63
550	9,8
575	10,2

Tabulka 5: Naměřené hodnoty emisního proudu v závislosti na napětí.

1992 [K]	
U[V]	I [mA]
100	0,56
150	0,59
200	0,62
250	0,64
300	0,66
350	0,67
400	0,68
450	0,68
500	0,69
550	0,7
600	0,71



Obrázek 1: Naměřené hodnoty emisního proudu v nasycené oblasti



Obrázek 2: Naměřené hodnoty emisního proudu v nasycené oblasti

3.2 Měření emisního proudu pro záporné anodové napětí

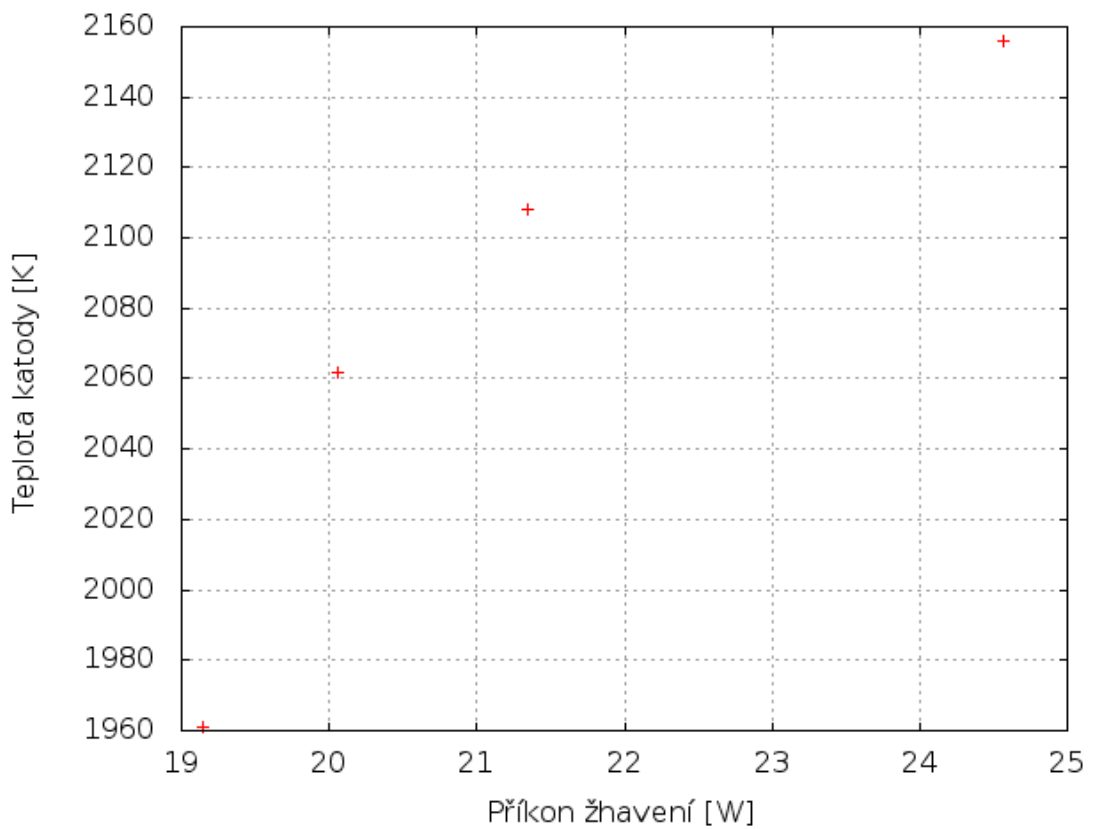
Pro měření při záporném anodovém napětí jsme otočit polarizaci zdroje vysokého napětí a přepnuli jej na nižší rozsah 0-30V, místo miliampérmetru jsme také zapojili galvanometr. Opět jsme měnili teplotu katody a tentokrát zapisovali i žhavící proud, z charakteristiky jsme se snažili měřit exponenciální oblast. (Jiná část není v této konfiguraci měření dostupná a je zatížena silnými nelinearitami a parazitními jevy). Naměřené a vypočtené hodnoty jsou uvedeny v tabulce 2.

Tabulka 6: Teploty katody v závislosti na žhavícím výkonu

Příkon [W]	Teplota katody [K]	Vypočtena [K]	Chyba %
19,14	1961	2334	19
20,06	2062	2514	22
21,35	2108	2880	37
24,57	2156	2456	14

4 Diskuse

- Změrili jsme závislost nasyceného proudu na teplotě. Měřený rozsah vyšel dobře do nasycené oblasti a naměřené hodnoty jsou proto téměř lineární.



Obrázek 3: Závislost teploty katody na žhavícím příkonu

Tabulka 7: Náběhový proud pro teplotu 1960 K

U [V]	I [A]
3,7	-0,00000003
4	-0,00000041
5	-0,00000082
6	-0,00000094
7	-0,00000103
8	-0,00000108
9	-0,00000112
10	-0,00000114

Tabulka 8: Náběhový proud pro teplotu 2061 K

U [V]	I [A]
3,8	-0,00000006
4	-0,00000033
5	-0,00000081
6	-0,00000095
7	-0,00000103
8	-0,00000108
9	-0,00000112
10	-0,00000115
11	-0,00000117
12	-0,0000012

Tabulka 9: Náběhový proud pro teplotu 2108 K

U [V]	I [A]
4	-0,00000004
5	-0,00000128
6	-0,00000091
7	-0,000001
8	-0,00000106
9	-0,00000111
10	-0,00000113
11	-0,00000116
12	-0,00000118

Tabulka 10: Náběhový proud pro teplotu 2156 K

U [V]	I [A]
4,1	-0,00000004
5	-0,00000071
6	-0,00000077
7	-0,00000097
8	-0,00000103
9	-0,00000108
10	-0,00000111
11	-0,00000113
12	-0,00000116

- Naměřené hodnoty jsme pro porovnání zobrazili do jednoho grafu. Lineární extrapolací jsme určili hodnoty proudu pro nulové napětí. Hodnotami jsme následně proložili přímku a Vypočetli Richardsonovu konstantu $A = (101 \pm 28)10^4 Am^{-2}K^{-2}$ která se příliš neliší od předpokládané hodnoty $A = (80)10^4 Am^{-2}K^{-2}$ bohužel výstupní práce vyšla $\varphi_v = (1.8 \pm 0.9)V$ což nelze považovat za příliš reálnou hodnotu.
- Chyby při určování konstant z fitu naměřených hodnot budou pravděpodobně způsobeny nějakou systematickou chybou.
- Závislost náběhového proudu pro záporné anodové napětí jsme změřili a uvedli v tabulce, ale pro nedostatek času jsme nepořídili příliš mnoho přesných hodnot což se projevilo při fitování průběhů a výpočtu teplot katody ze vzorce 5.
- Z naměřených hodnot jsme se pokusili spočítat předpokládanou teplotu katody, kterou jsme v tabulce porovnali s teplotou změřenou Pyrometrem.
- Naměřenou teplotu a žhavící výkon jsme uvedli v grafu. Je patrné, že tato závislost je nelineární a při vyšších teplotách vzrůstá podíl vyzářené tepelné energie.

5 Závěr

Při měření jsme si prakticky vyzkoušeli práci se sestavou vakuové techniky a zjistili komplikace při měření malých proudů v obvodu vakuové diody. Richardsonovu konstantu jsme určili fitováním grafu $A = (101 \pm 28)10^4 Am^{-2}K^{-2}$. Výstupní práci elektronů pro wolfram jsme opět určili $\varphi_v = (1.8 \pm 0.9)V$, která se od skutečné hodnoty $\varphi_v \approx 4.5V$ výrazně liší.

Reference